

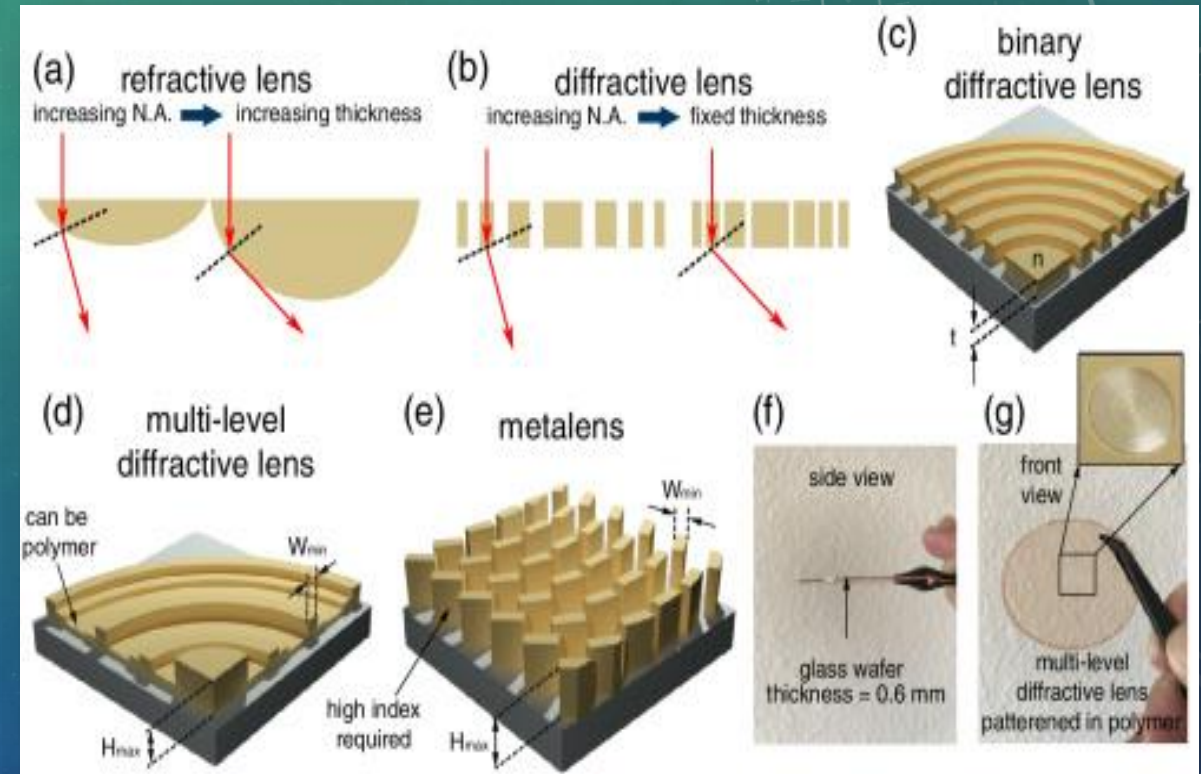
OPTIČNE METALEČE

MATIC TONIN
MENTOR: DANIEL SVENŠEK

UVOD

Razvoj optičnih naprav:

- a) Steklene leče
- b) Uklonska režica
- c) Krožna uklonska reža ali uklonska leča
- d) večslojne uklonske mrežice, Multilevel diffractive lenses ali MDLs



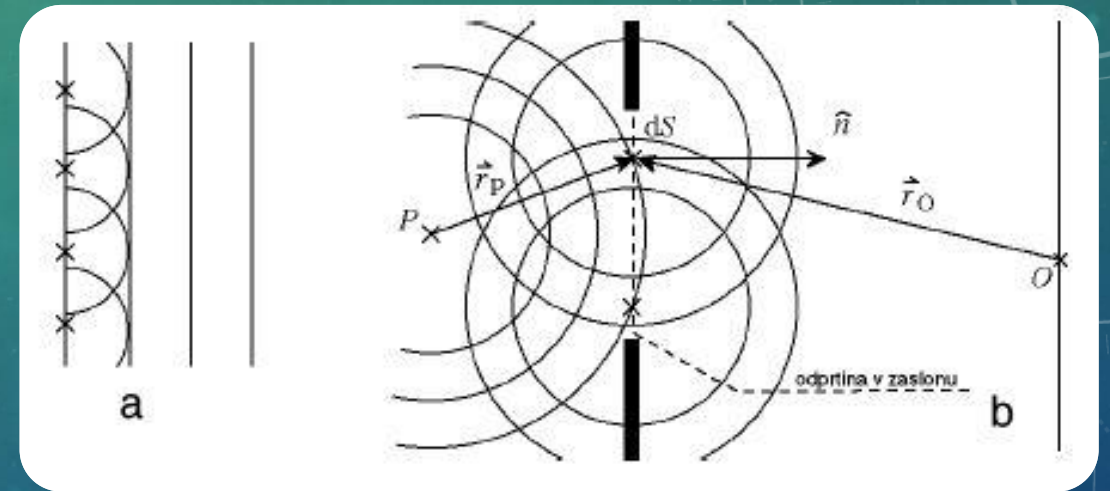
OSNOVE OPTIČNIH POVRŠIN

Amplituda svetlobe, ki seva iz točkastega izvora, ustreza rešitvam Helmholtzeve enačbe:

$$\nabla^2 \psi + k^2 \psi = \delta(\mathbf{r}) \quad \psi(r) = \frac{e^{ikr}}{4\pi r}$$

Ko valovna fronta naleti na zaslon z odprtino nastane nova valovna fronta z amplitudo:

$$\Psi(r) \propto \iint_{\text{Rea}} E_{\text{inc}}(x', y') \frac{e^{ik|\mathbf{r} - \mathbf{r}'|}}{4\pi |\mathbf{r} - \mathbf{r}'|} dx' dy'$$



V primeru dvodimenzionalne krožne odprtine:

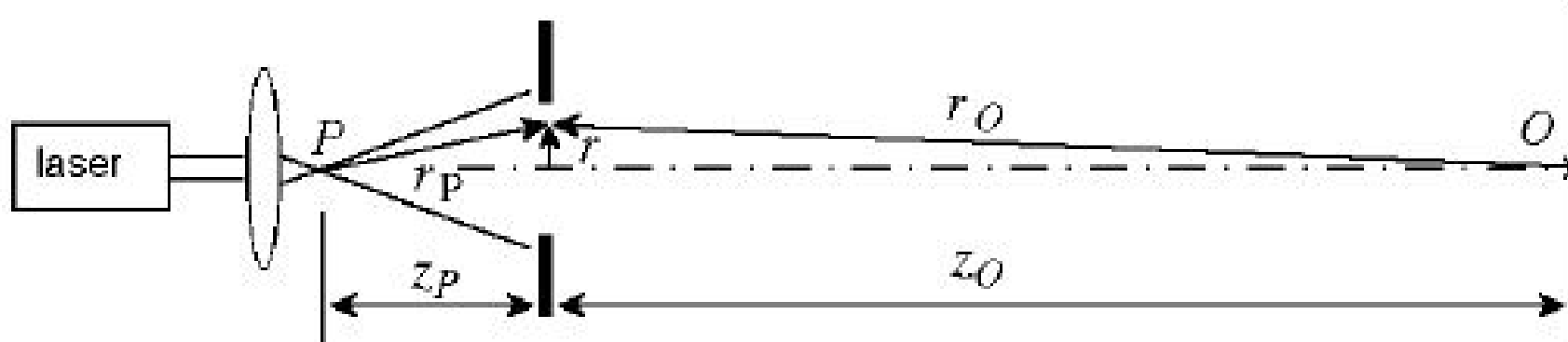
$$\Psi \propto \frac{e^{ikr_p}}{4\pi r_p} \iint_{\text{Rea}} E_{\text{inc}} \frac{E^{ikr_o}}{r_o} dS$$

Za fazno razliko si moramo pogledati razliko optičnih poti.

$$(r_p + r_o) - (z_o + z_p) = m \frac{\lambda}{2}$$

Tako velja:

$$\Delta\phi = \frac{kr^2}{2f}$$



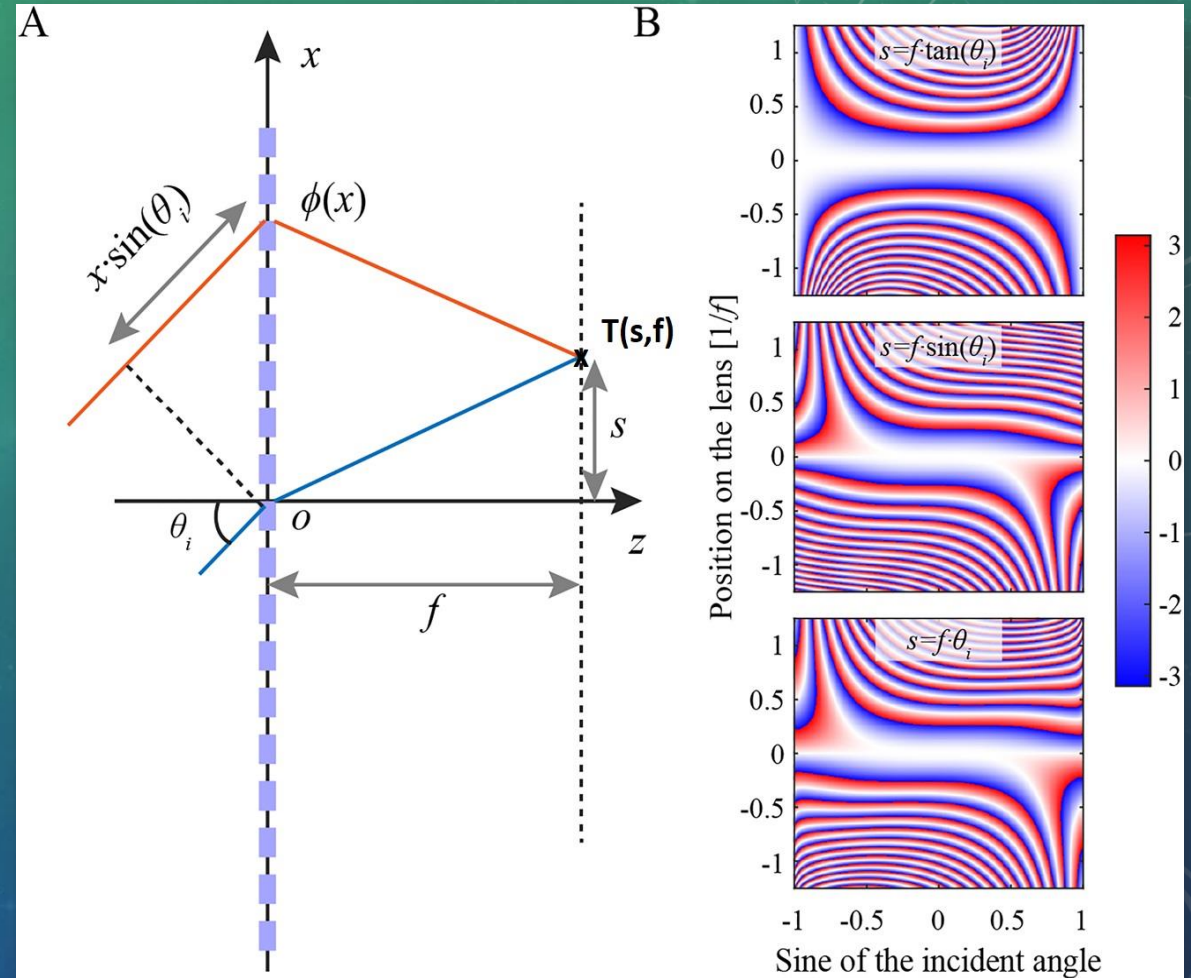
GORIŠČNA RAZDALJA HIPERBOLIČNI FAZNI PROFIL

Ko svetloba vpade pravokotno na lečo je razlika med optičnima potema enaka

$$\phi(x) = -k \left(\sqrt{x^2 + f^2} - f \right)$$

Ko svetloba vpade pod določenim kotom in se žarki zberejo v točki T(s,f) je:

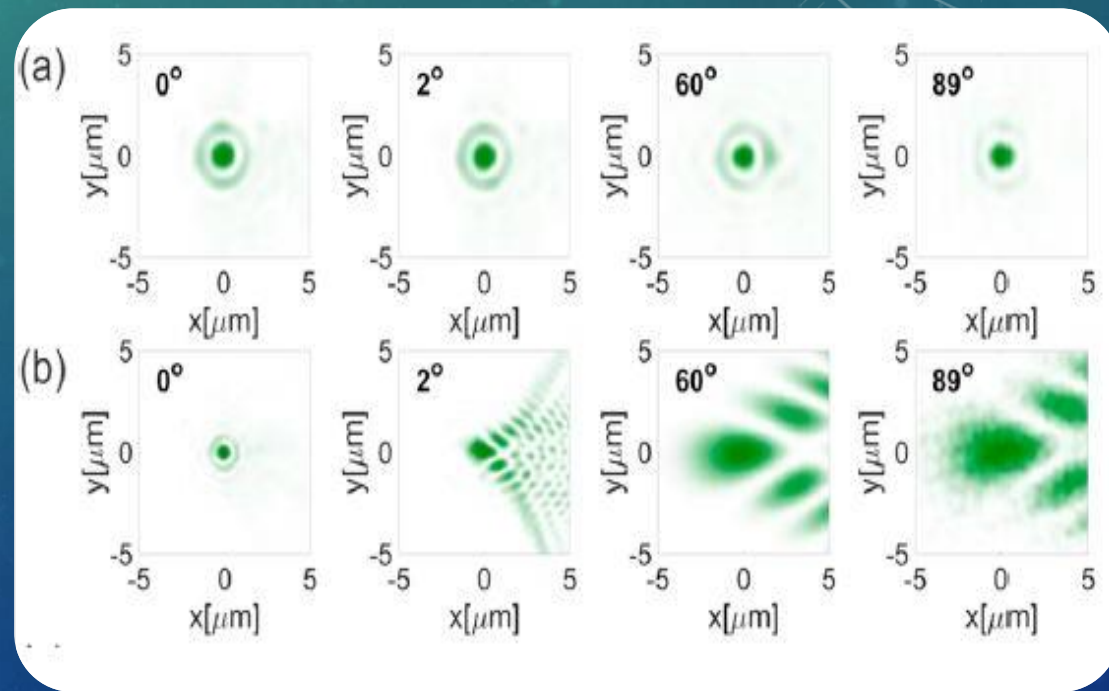
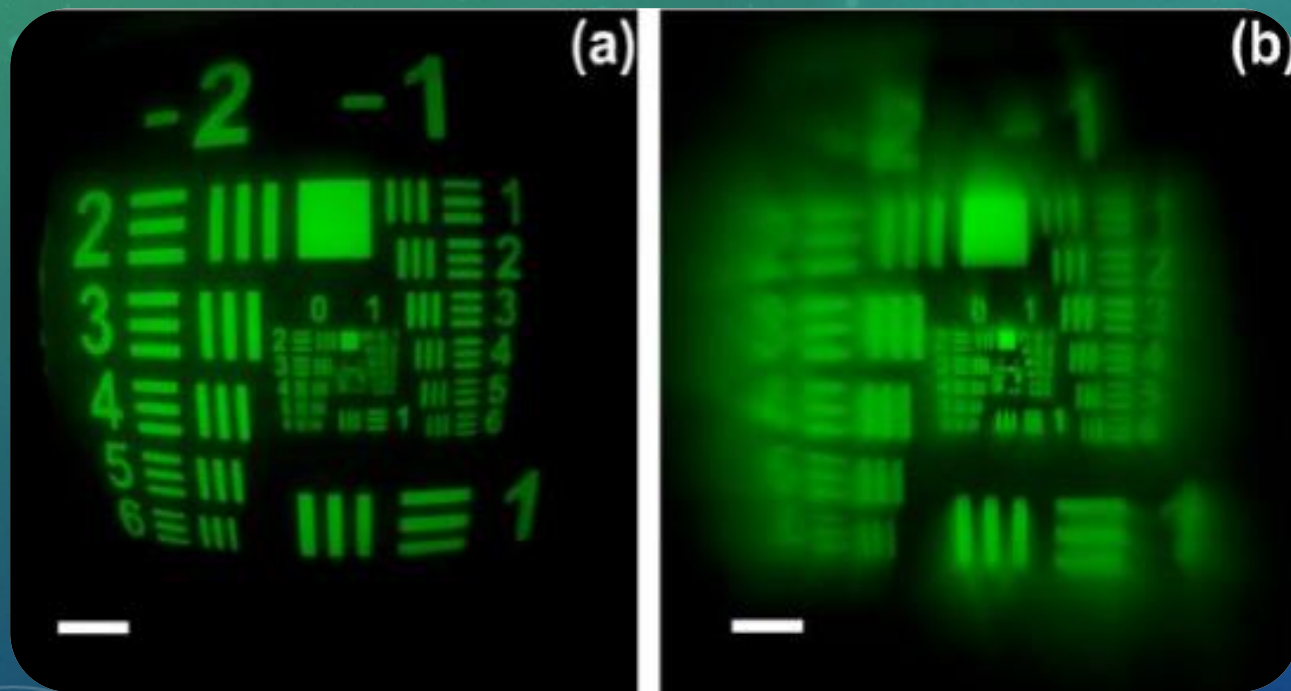
$$\phi(\theta_i) = -k_0 \left[x \sin \theta_i + \sqrt{(x - s(\theta_i))^2 + f^2} - \sqrt{(s(\theta_i))^2 + f^2} \right]$$



KVADRATIČNI FAZNI PROFIL

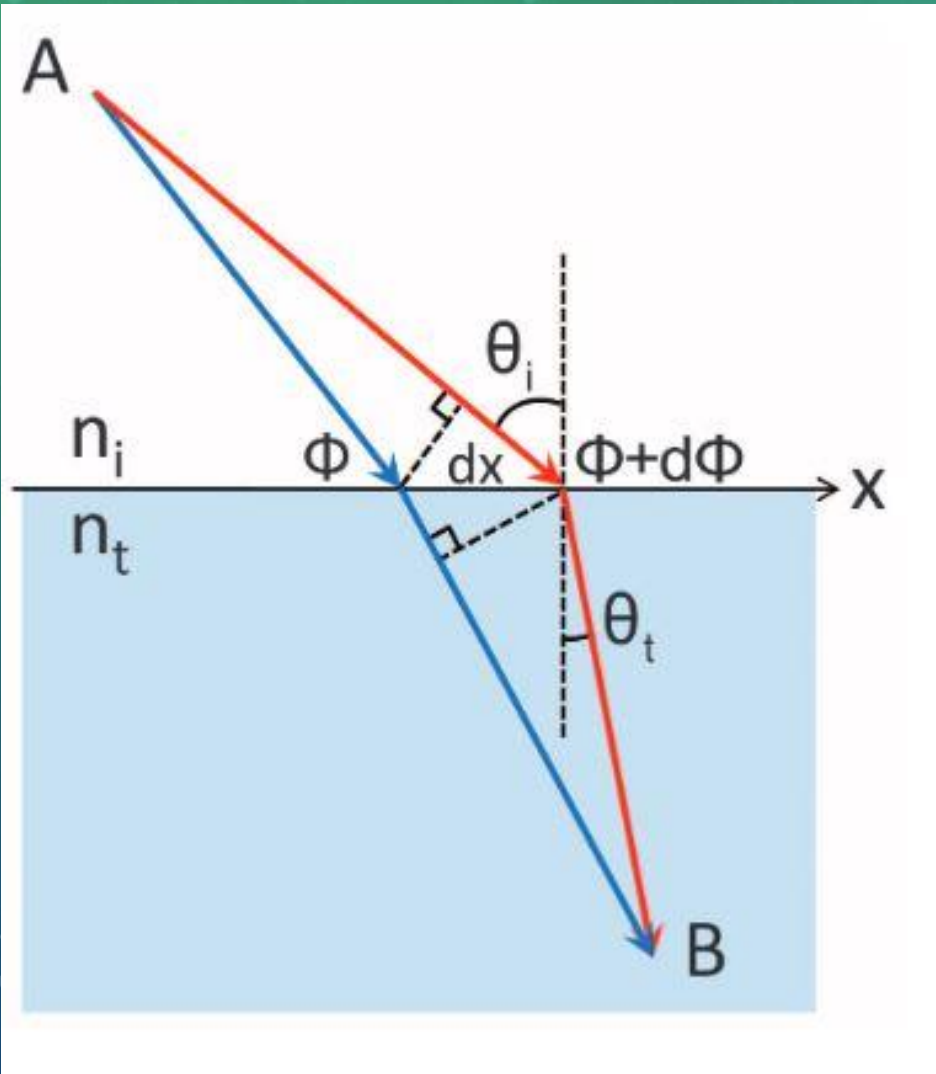
Z upoštevanjem, da kot ni majhen iz enačbe krogelne reže sledi

$$\phi(r, \theta_i) = -\frac{k_0}{2f}r^2 - k_0 x \sin \theta_i = -\frac{k_0}{2f} \left[(x + f \sin \theta_i)^2 + y^2 \right] + \frac{k_0 f \sin^2 \theta_i}{2}$$



FAZA IN INTERFERENCA

POSPLOŠENI LOMNI ZAKON



Ko se bosta dana žarka po prehodu v snov srečala v točki B, bosta ustvarila konstruktivno interferenco takrat, ko je razlika njunih faz enaka 0:

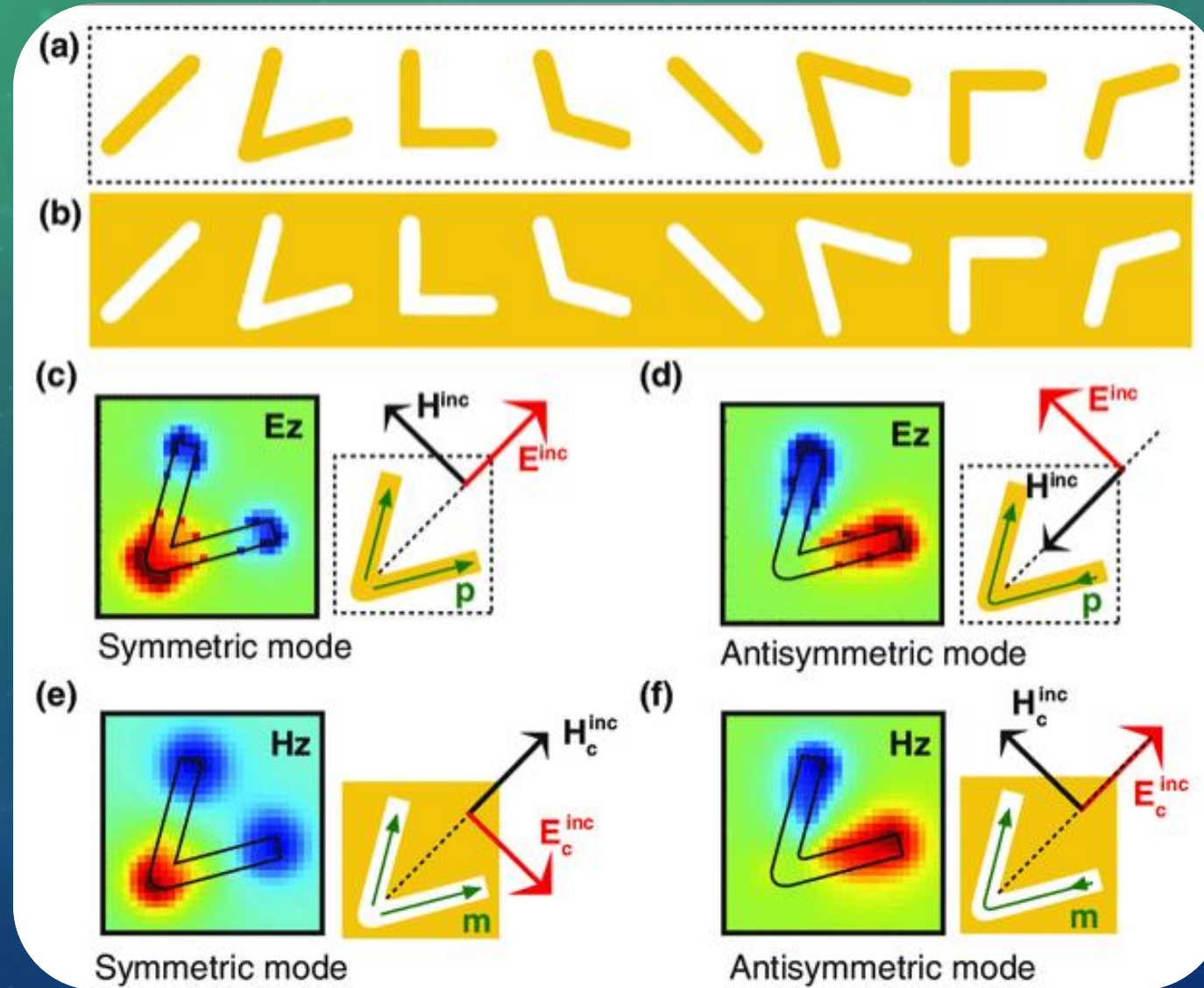
$$[k_0 n_i \sin(\theta_i) dx + (\Phi + d\Phi)] - [k_0 n_t \sin(\theta_t) dx + \Phi] = 0$$

Če enačbo preuredimo, dobimo posplošeni lomni zakon ali generaliziran Snellov zakon.

$$\sin(\theta_t) n_t - \sin(\theta_i) n_i = \frac{\lambda_o}{2\pi} \frac{d\Phi}{dx}$$

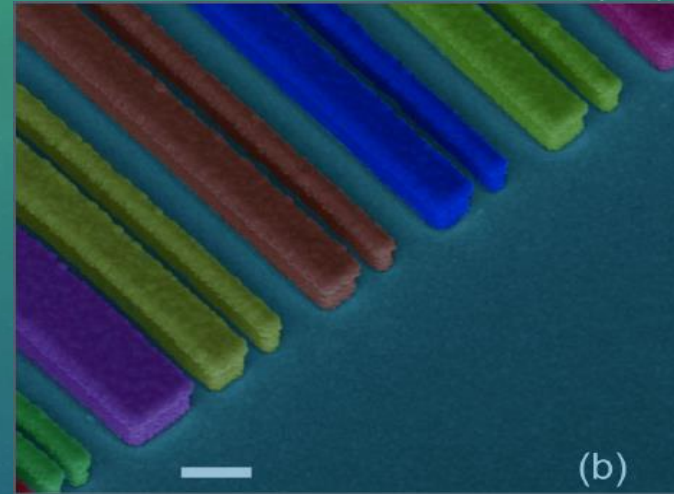
USTVARJANJE FAZE Z NANOSTRUKTURAMI

Primer, nanoantene oblike črke V z dvema nihajnima načinoma; simetričnim in antisimetričnim



PREPROSTA IZDELAVA METALEČ-PRIMERI

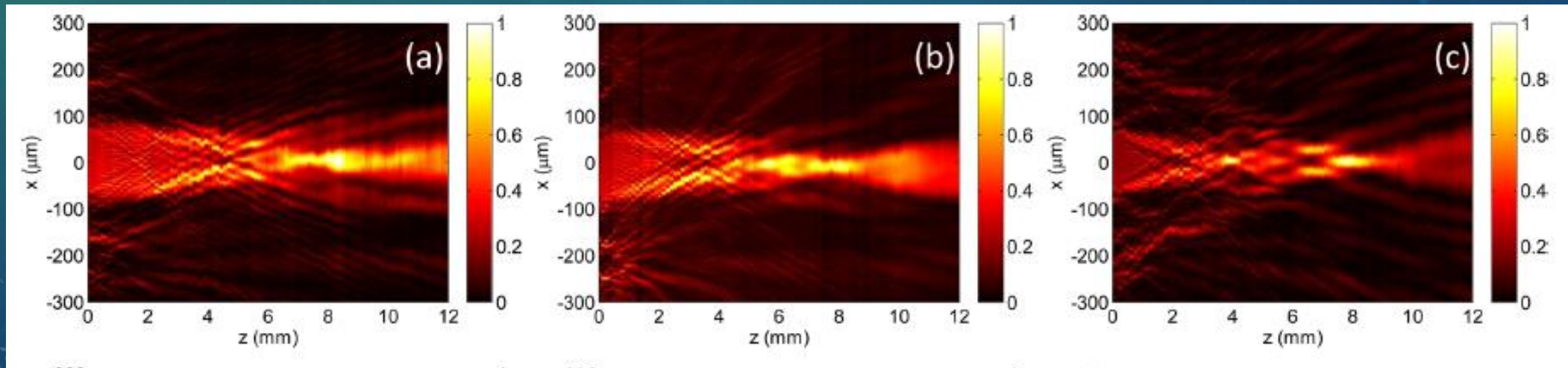
Horizontalna postavitev treh metaleč, ki zbirajo svetlobo valovnih dolžin 1300 nm, 1550 nm in 1800 nm.



1300 nm

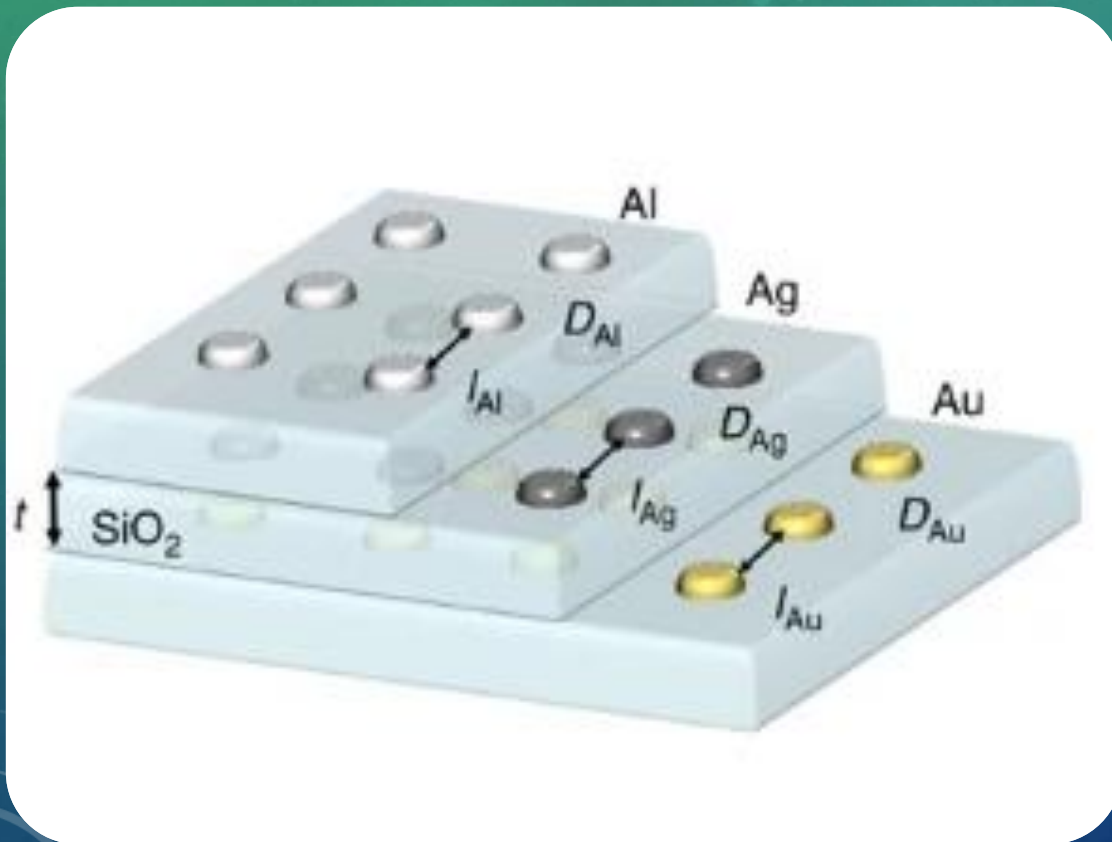
1550 nm

1800 nm



PREPROSTA IZDELAVA METALEČ-PRIMERI

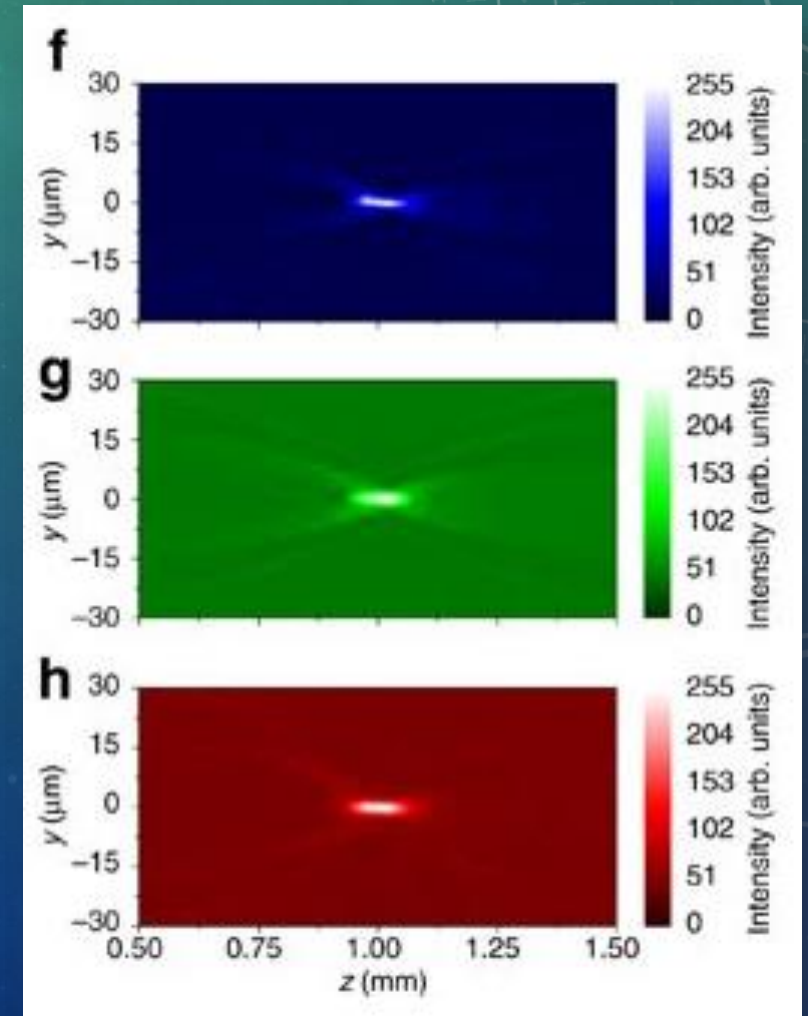
Vertikalna postavitev treh metaleč, ki zbirajo svetlobo valovnih dolžin 650 nm, 550 nm in 450 nm.



450 nm

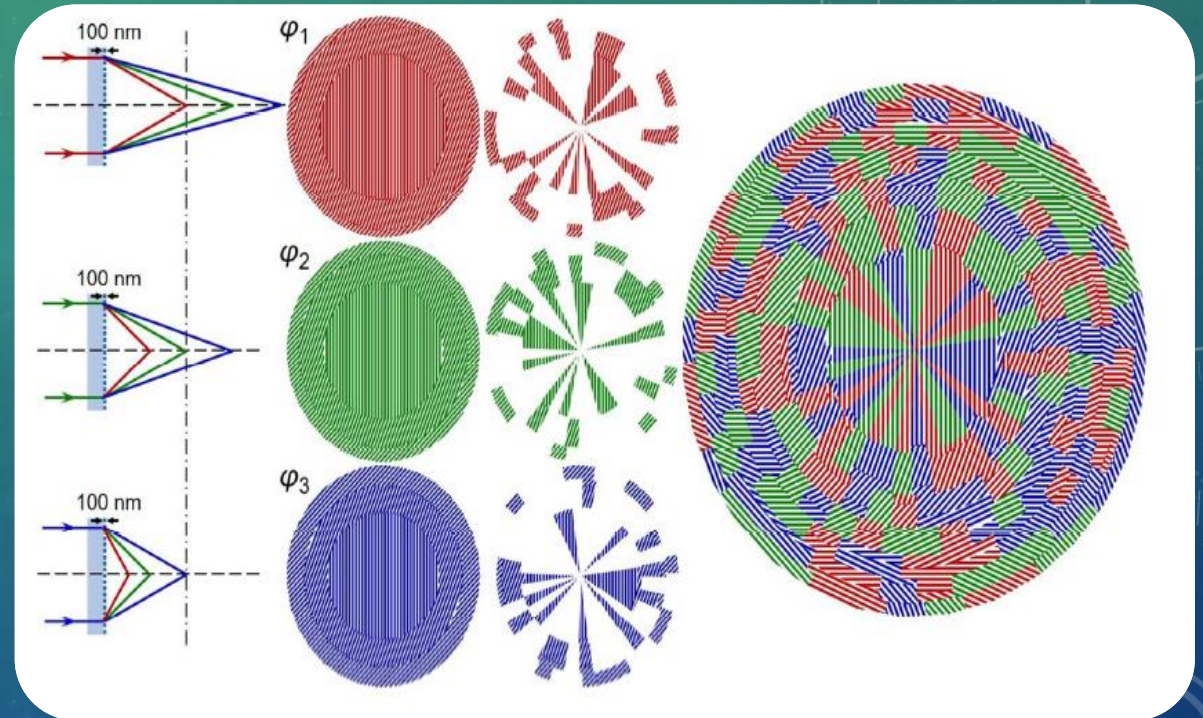
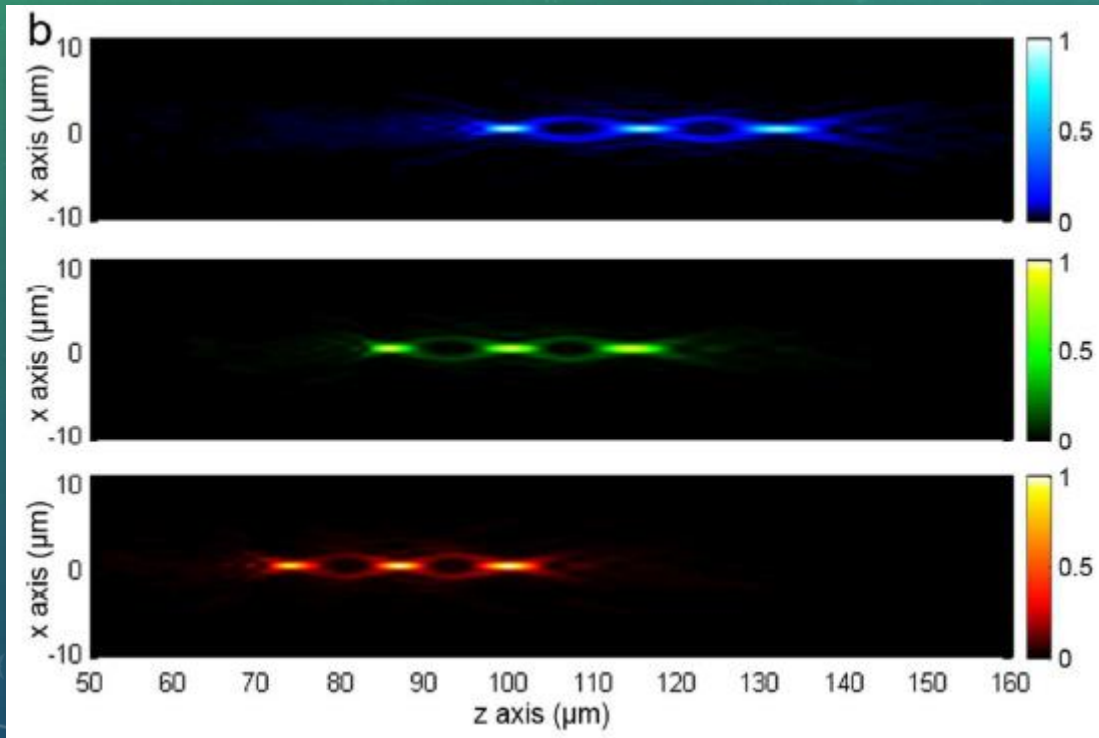
550 nm

650 nm



PREPROSTA IZDELAVA METALEČ-PRIMERI

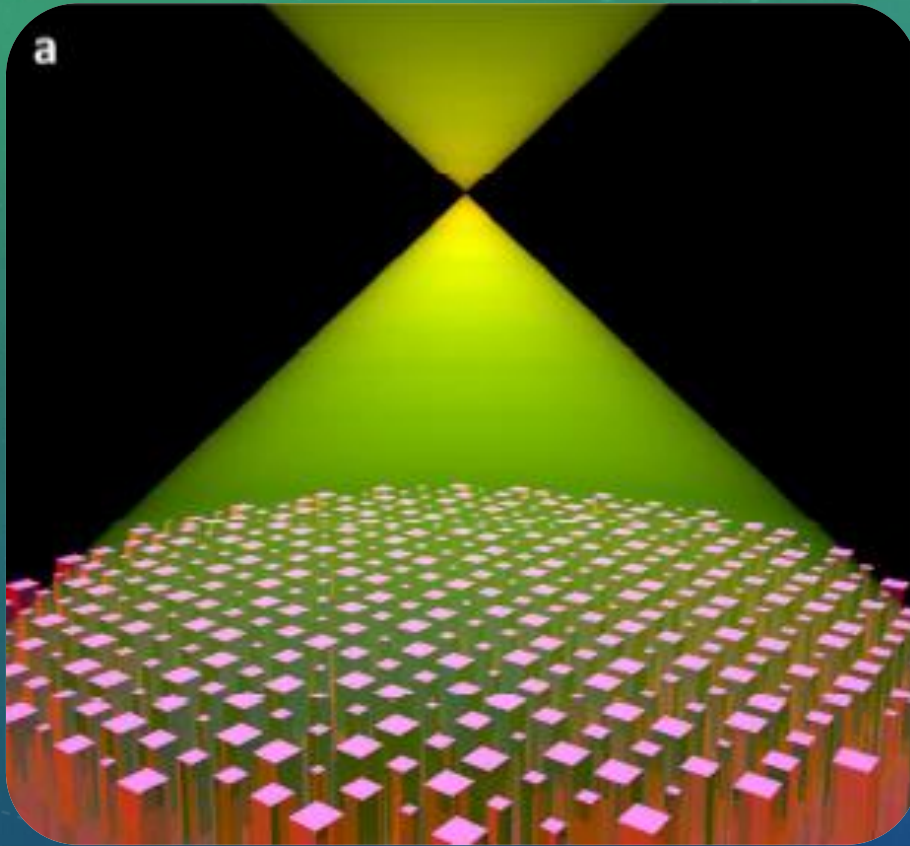
Sestavljena leča iz treh metaleč, ki zbirajo svetlobo valovnih dolžin 480, 550 in 620 nm.



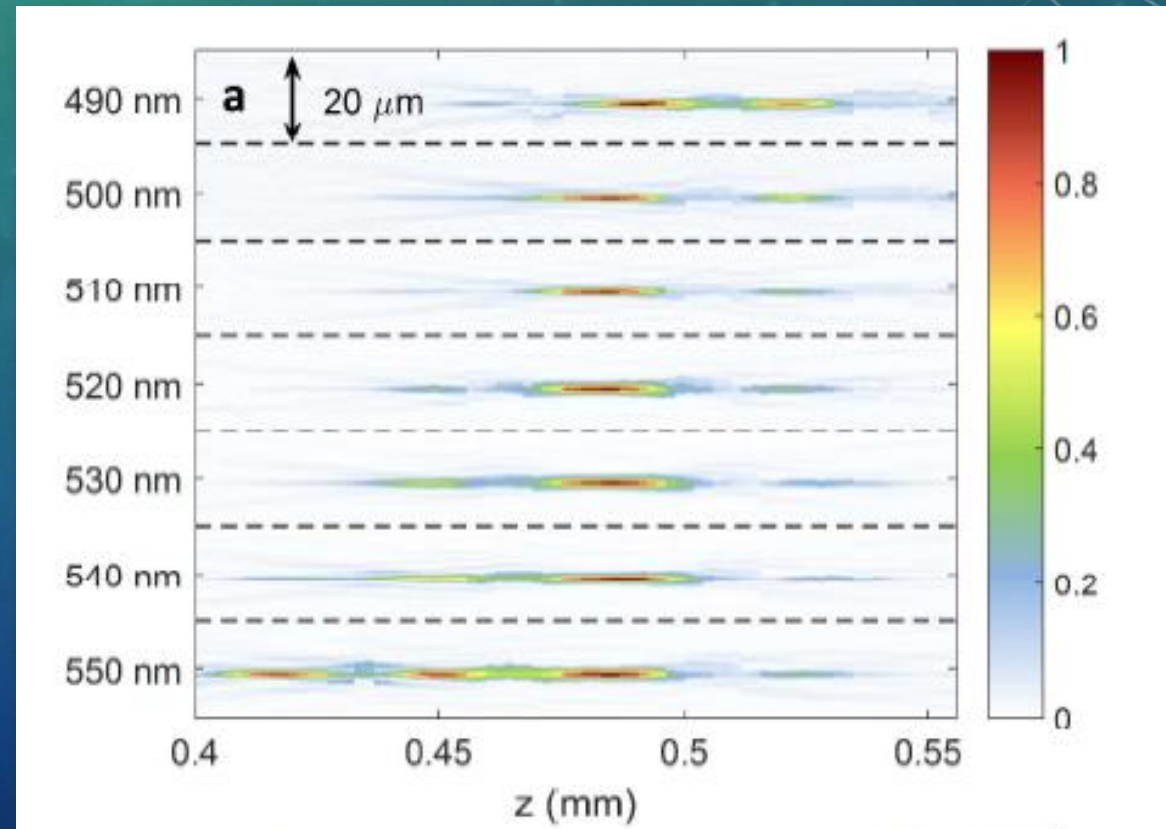
480 nm zgoraj, 550 nm v sredini, 620 nm spodaj

PREPROSTA IZDELAVA METALEČ-PRIMERI

Primer zbiranja svetlobe spektra valovni dolžin-akromatično zbiranje svetlobe.

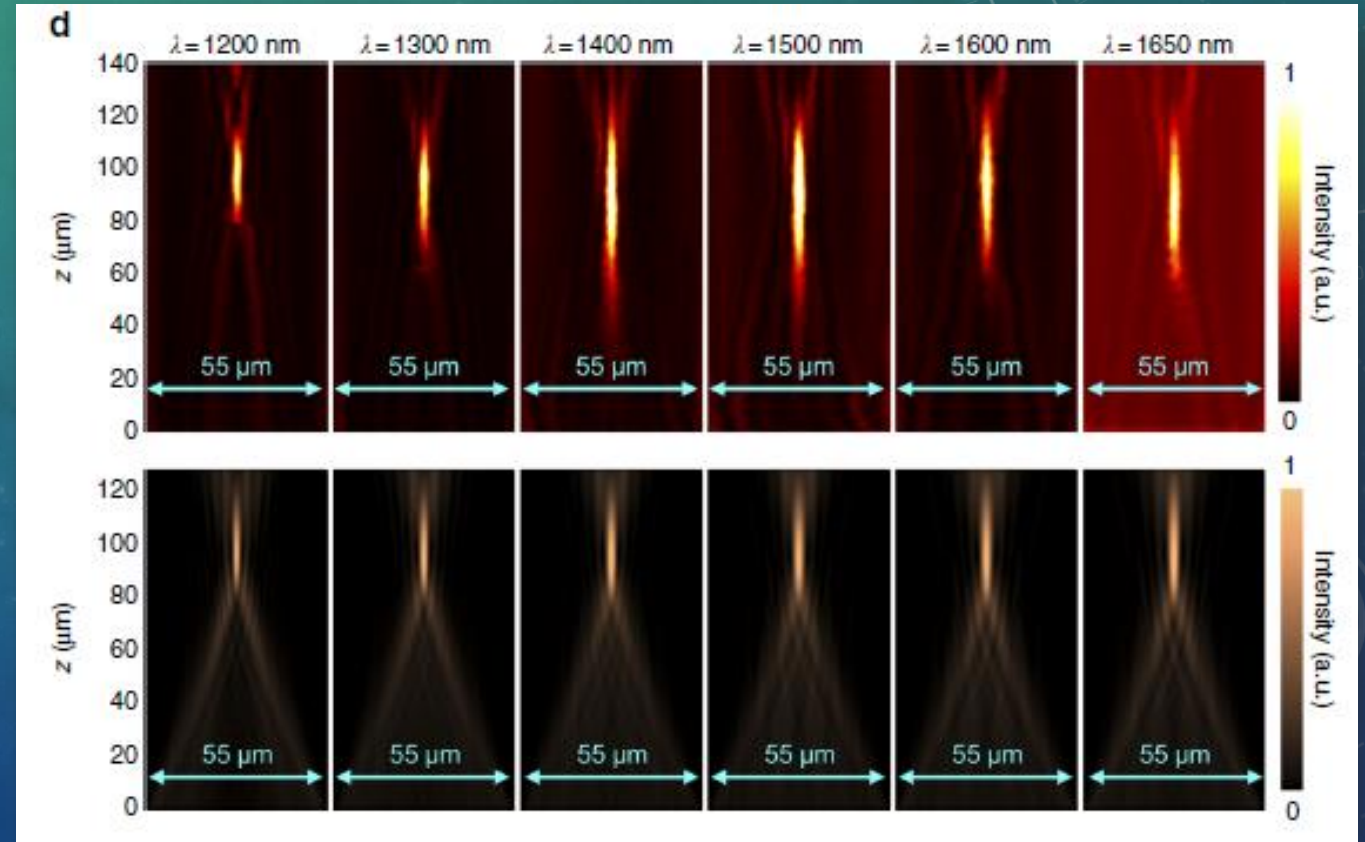
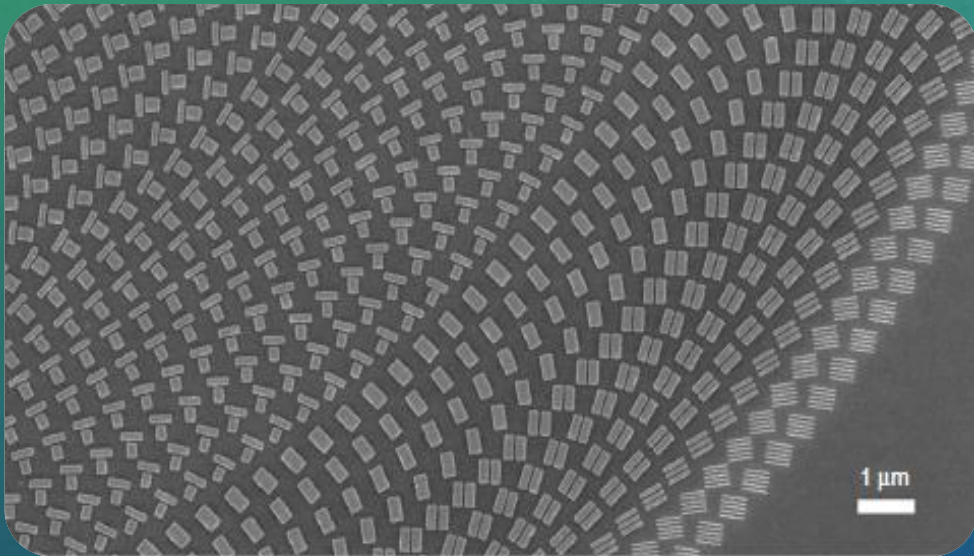


Leča je sestavljena iz stolpcev titanovega dioksida.



PREPROSTA IZDELAVA METALEČ-PRIMERI

Primer zbiranja svetlobe spektra valovni dolžin-akromatično zbiranje svetlobe.



UPORABA V PRAKSI-SLIKANJE

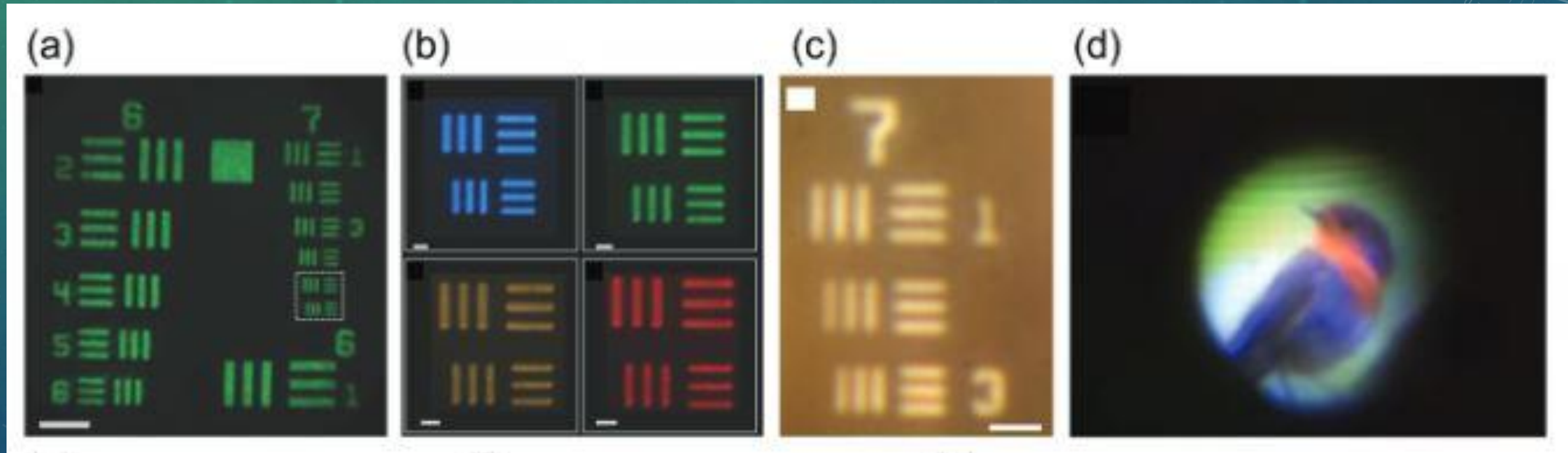
Metaleče se zaenkrat tako dobremu lečenju kot oko še niso približale, problem je predvsem v absorpciji.

Številčnica velikosti
40 nm

Slikana z TiO₂
metalečo

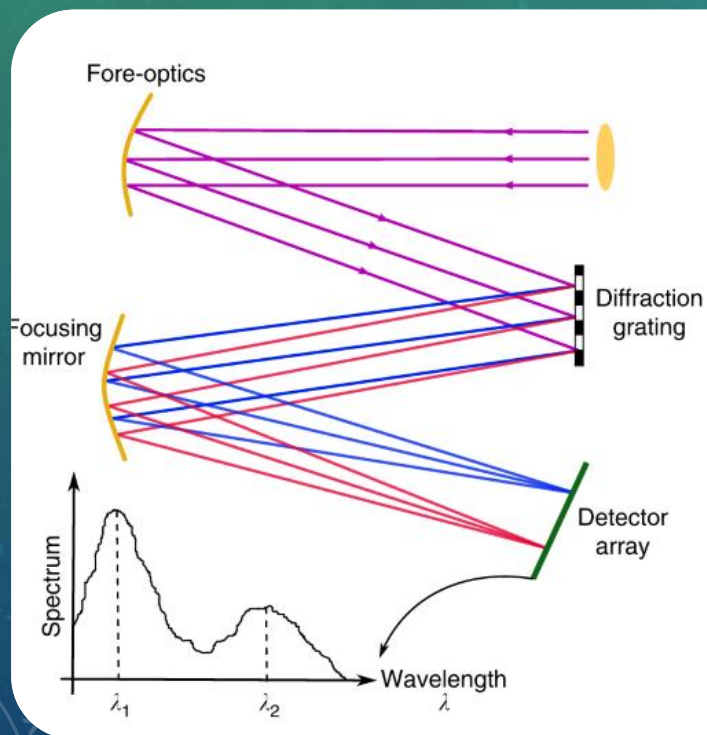
Slikana z GaNi
metalečo

Slika ptice z GaNi metalečo

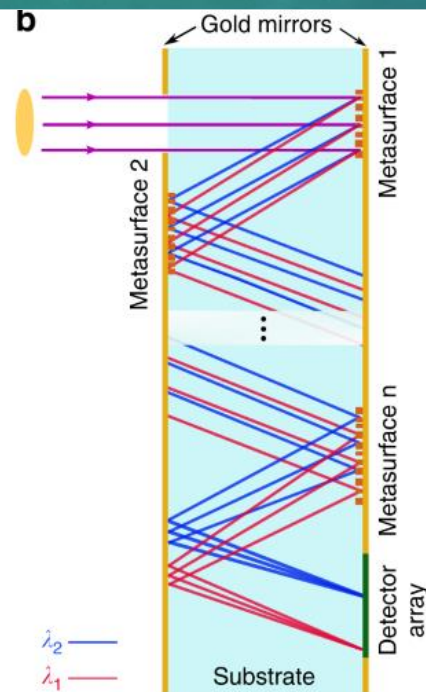


UPORABA V PRAKSI-SPEKTROSKOPIJA IN RGB FILTRI

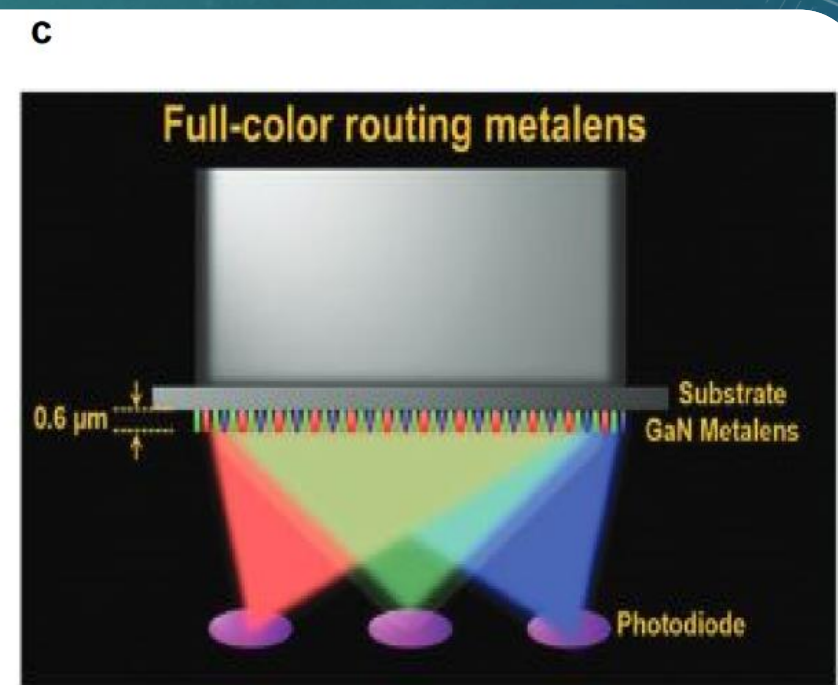
Primer navadnega spektrometra.



Primer spektrometra z metalečo.



Primer uporabe metaleče v RGB detektorju.



HVALA ZA VAŠO POZORNOST.

LITERATURA:

- [1] Sourangsu Banerji in sod. "Imaging with flat optics metalenses or diffractive lenses". V: Optica 6.6 (2019), str. 805–810. url: <http://opg.optica.org/optica/abstract.cfm?URI=optica-6-6-805>.
- [2] Gregor Kladnik Martin Horvat. Uklon svetlobe. Apr. 2022. url: https://predmeti.fmf.uni-lj.si/fizprak2?action=AttachFile&do=get&target=FP4_skripta.pdf.
- [3] Gregor Kladnik Martin Horvat. Preslikave z uklonsko le`co. Sep. 2021. url: https://predmeti.fmf.uni-lj.si/fizprak2?action=AttachFile&do=get&target=FP3_skripta.pdf.
- [4] XianGang Luo in sod. "Recent advances of wide-angle metalenses: Principle, design, and applications". V: De Gruyter 11.1 (2022), str. 1–20. url: <https://www.degruyter.com/document/doi/10.1515/nanoph-2021-0583/html?lang=en>.
- [5] Wenwei Liu in sod. Generating Spatial Spectrum with Metasurfaces. 2017. doi: 10.48550/ARXIV.1707.06058. url: <https://arxiv.org/abs/1707.06058>.
- [6] F-Theta lenses tutorial. url: https://www.thorlabs.com/newgrouppage9.cfm?objectgroup_id=10766.
- [7] Augusto Martins in sod. "On Metalenses with Arbitrarily Wide Field of View". V: ACS Photonics 7.8 (2020), str. 2073–2079. doi: 10.1021/acsp Photonics.0c00479. eprint: <https://doi.org/10.1021/acsp Photonics.0c00479>. url: <https://doi.org/10.1021/acsp Photonics.0c00479>.
- [8] Nanfang Yu in sod. "Light Propagation with Phase Discontinuities: Generalized Laws of Reflection and Refraction". V: Science 334.6054 (2011), str. 333–337. doi: 10.1126/science.1210713. eprint: <https://www.science.org/doi/pdf/10.1126/science.1210713>. url: <https://www.science.org/doi/abs/10.1126/science.1210713>.
- [9] Yeon Ui Lee, Junghee Kim in Jeong Wu. "Electro-optic switching in metamaterial by liquid crystal". V: Nano Convergence 2.23 (dec. 2015), str. 2196–5404. doi: 10.1186/s40580-015-0054-6.
- [10] Ming Lun Tseng in sod. "Metalenses: Advances and Applications". V: Advanced Optical Materials 6.18 (2018). doi: <https://doi.org/10.1002/adom.201800554>. eprint: <https://onlinelibrary.wiley.com/doi/pdf/10.1002/adom.201800554>. url: <https://onlinelibrary.wiley.com/doi/abs/10.1002/adom.201800554>.
- [11] Wenwei Liu in sod. "Diffractive metalens: from fundamentals, practical applications to current trends". V: Advances in Physics: X 5.1 (2020), str. 1742584. doi: 10.1080/23746149.2020.1742584. eprint: <https://doi.org/10.1080/23746149.2020.1742584>. url: <https://doi.org/10.1080/23746149.2020.1742584>.
- [12] MohammadSadegh Faraji-Dana in sod. "Compact folded Metasurface Spectrometer". V: Nature News 9 (okt. 2018). url: <https://www.nature.com/articles/s41467-018-06495-5>.